

бых полях $H_{\text{eff}}^1 = H - 2H_{\text{ex}} < 0$, поэтому и $M_{rr} < 0$. При низких температурах $M_0 > |M_{rr}|$. С ростом температуры по мере заселения уровней основного мультиплета $M_0 (H_{\text{eff}}^1, T) \rightarrow 0$, в то время как M_{rr} при этом меняется слабо. Поэтому существует такое значение $T = T_0$, при котором $M_0 (T_0) = |M_{rr}|$, а следовательно, и $M_{\text{Sm}} (T_0) = 0$.

Магнитная структура $\text{Sm}_3\text{Fe}_5\text{O}_{12}$ при 100 К приведена на рис. 2 ($M_1 = 0.11 \mu\text{B}$, $M_2 = -0.058 \mu\text{B}$, $\theta_1 \approx 22^\circ$, $\theta_2 \approx 37^\circ$ для $T = 100$ К). Обращает на себя внимание совершенно необычный вид конфигурации магнитных моментов ионов Sm^{3+} . Имеются две ярко выраженные магнитные подсистемы. Первая подсистема образована магнитными моментами ионов в местах 1, 3, 5, а вторая — в местах 2, 4, 6. Внутри каждой подсистемы моменты равны друг другу по величине и лежат в плоскостях $(1\bar{1}0)$, $(01\bar{1})$ и $(10\bar{1})$ под одинаковыми углами к оси $[111]$, причем в случае первой подсистемы этот угол острый, а в случае второй — тупой. Вклады M_1 и M_2 этих подсистем в M_{Sm} противоположны по знаку (рис. 2). Магнитные моменты ионов Sm^{3+} в местах 1, 3, 5 ориентированы под острым углом к \mathbf{M}_{e} , в то время как магнитные моменты ионов Sm^{3+} в местах 2, 4, 6 составляют с \mathbf{M}_{Fe} тупой угол. Таким образом, при отсутствии $\text{Sm}-\text{Sm}$ обменного взаимодействия указанные магнитные подсистемы ионов Sm^{3+} «псевдоантиферромагнитно» упорядочены. Этот факт обусловлен тем, что для ионов Sm^{3+} , расположенных в местах 1, 3, 5, основной вклад в величину магнитного момента дает изинговская составляющая, обусловленная расщеплением основного дублета обменным полем. Эти составляющие направлены вдоль осей $\langle 110 \rangle$, $\langle 011 \rangle$ и $\langle 101 \rangle$ соответственно для позиций 1, 3, 5, т. е. образуют острый угол с направлением \mathbf{M}_{Fe} . В то же время в случае $\mathbf{M}_{\text{e}} \parallel \langle 111 \rangle$ для ионов в позициях 2, 4, 6 изинговские составляющие магнитного момента обращаются в нуль, так как \mathbf{M}_{Fe} перпендикулярен изинговским осям намагничивания этих ионов. Основной вклад в магнитный момент этих ионов дают ванфлековские составляющие, обусловленные примешиванием первого возбужденного мультиплета к основному и образующие тупой угол с направлением \mathbf{M}_{Fe} .

Список литературы

- [1] Nekvasil V. // Czech. J. Phys. 1984. V. B34. P. 1052—1059.
- [2] Звездин А. К., Матвеев В. М., Мухин А. А., Попов А. И. Редкоземельные ионы в магнитоупорядоченных кристаллах. М., 1985. 296 с.
- [3] Дорофеев О. А., Попов А. И. // ФТТ. 1989. Т. 31. № 11. С. 124—126.
- [4] Wybourne B. G. Spectroscopic properties of rare earths. N. Y., 1965. 236 р.
- [5] Guillot M., Le Gall H., Marhand A. // IEEE Trans. Magn. 1986. V. 22. № 5. P. 1239—1241.
- [6] Валиев У. В., Звездин А. К., Кринчик Г. С. и др. // ЖЭТФ. 1983. Т. 85. № 7. С. 311—326.

Московский институт электронной техники

Поступило в Редакцию
9 апреля 1990 г.

УДК 537.226

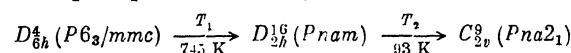
© Физика твердого тела, том 32, № 11, 1990
· Solid State Physics, vol. 32, N 11, 1990

СЕГНЕТОЭЛЕКТРИЧЕСКИЙ ФАЗОВЫЙ ПЕРЕХОД В ИЗОСТРУКТУРНОЙ СИСТЕМЕ СЕЛЕНАТА КАЛИЯ

Л. Н. Пелих, А. П. Шамшин, Э. В. Матюшкин

Селенат калия относится к обширному классу кристаллов структурного типа $\beta\text{-K}_2\text{SeO}_4$, D_{2h}^{16} — $Pnam$, $z=4$ с общей формулой $A_2\text{BX}_4$ ($A = \text{K}, \text{Rb}, \text{Cs}, \text{NH}_4$, $\text{BX}_4 = \text{SO}_4$, SeO_4 , BeF_4).

Известно, что K_2SeO_4 испытывает ряд фазовых переходов (ФП)



Переход в полярную фазу T_2 предваряется переходом в промежуточную несоразмерную $T_i = 129 К.$

Механизму индуцирования несоразмерной фазы в K_2SeO_4 , посвящено большое количество теоретических и экспериментальных работ. Согласно [1], в этом кристалле ФП из неполярной фазы в полярную должен обязательно идти через промежуточную фазу со сверхструктурой, период которой несоизмерим с основным периодом. Экспериментально было показано, что в K_2SeO_4 на температурной зависимости диэлектрической проницаемости при переходах неполярная—несоразмерная—полярная фаза (при T_i и T_2) наблюдаются характерные диэлектрические аномалии, которые могут быть легко измерены [2]. Наблюдаемые экспериментально-

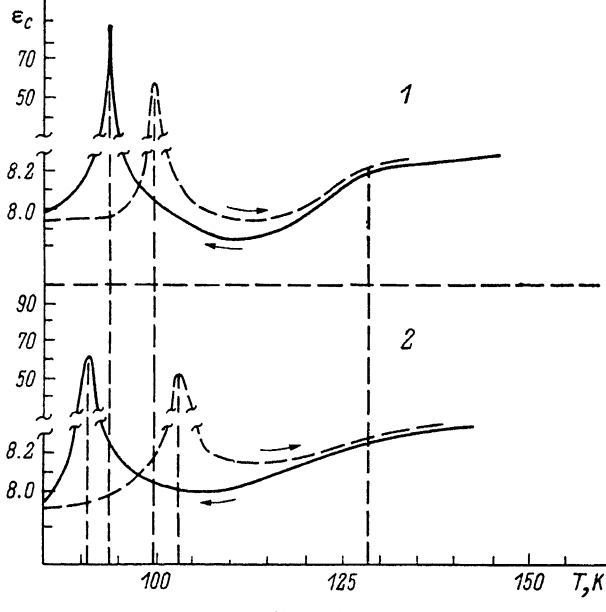


Рис. 1.

аномалии диэлектрических свойств довольно хорошо согласуются с выводами феноменологической теории, поэтому K_2SeO_4 является удобным объектом для исследования свойств несоразмерных фаз.

В настоящей работе проведено исследование влияния различных примесей, в том числе и полярных, на сегнетоэлектрический ФП в K_2SeO_4 и на особенность образования несоразмерной фазы в этом кристалле.

Теоретически и экспериментально известно, что различные дефекты (примеси), если они взаимодействуют с параметром порядка, могут приводить к изменению характера ФП и даже индуцировать новые ФП. Особую роль могут играть полярные дефекты с реориентирующими дипольными и квадрупольными моментами [3]. Такие дефекты увеличивают электронно-колебательное взаимодействие между атомами кристаллической решетки и могут значительно изменять температурную область существования несоразмерной фазы.

Известно, что примесь замещения с малым ионным радиусом может занимать нецентральное положение в вакантном узле. В случае K_2SeO_4 такой примесью может быть Li^+ . При замене K^+ на Li^+ литий играет роль электрического диполя и может рассматриваться как полярная примесь (дефект).

ФП в $K_2SeO_4 : Li^+$ и $K_2SeO_4 - Rb_2SeO_4$, $K_2SeO_4 - Cs_2SeO_4$ изучались методом диэлектрической спектроскопии. Были исследованы температурные зависимости диэлектрической проницаемости и тангенса угла диэлектрических потерь на частоте 1 кГц в районе сегнетоэлектрического ФП и несоразмерной фазы.

На рис. 1 показана температурная зависимость диэлектрической проницаемости при T_2 и T_i в чистом K_2SeO_4 (1) и с примесью 5 % Li^+ (2). Видно, что примесь Li^+ приводит к уменьшению аномалии при сегнетоэлектрическом ФП, увеличению температурного гистерезиса и размытию аномалии ϵ при T_i . Необходимо отметить, что в K_2SeO_4 из-за наличия пространственно-модулированной структуры наблюдается аномальный температурный гистерезис при T_2 [4], который экспериментально изучался в [5]. В [5] монокристаллы K_2SeO_4 подвергались облучению, что приводило к возникновению дополнительных дефектов и увеличению температурного гистерезиса при T_2 . В нашем случае такими дополнительными дефектами были нецентральные ионы Li^+ , которые похожим образом повлияли на температурную зависимость диэлектрической проницаемости при сегнетоэлектрическом ФП. Значительное размытие аномалии ϵ при T_i в легированном $K_2SeO_4 : 5 \% Li$ не позволяло сделать вывод об изменении температуры перехода неполярная—несоразмерная фаза.

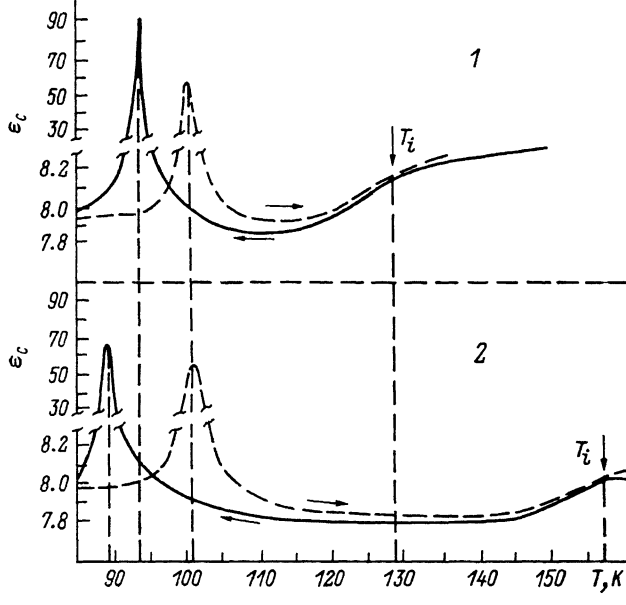


Рис. 2.

На рис. 2 показана температурная зависимость диэлектрической проницаемости системы изоструктурных кристаллов K_2SeO_4 (1) и $K_2SeO_4 : 5 \% Rb$ (2). Видно, что с ростом концентрации Rb_2SeO_4 диэлектрическая аномалия при переходе неполярная—несоразмерная фаза смещается в высокотемпературную область. Подобное смещение аномалии ϵ , но с обратным знаком наблюдалось в экспериментах по влиянию гидростатического давления на диэлектрические свойства K_2SeO_4 [2]. В нашем случае при замещении K^+ на Rb^+ происходит пропорциональное увеличение периодов элементарной ячейки кристаллической решетки. Такое увеличение объема ячейки можно рассматривать как своеобразный эффект отрицательного давления на монокристалл K_2SeO_4 , обратный гидростатическому сжатию.

Необходимо отметить, что смещение T_i в системе $K_2SeO_4 - Cs_2SeO_4$ значительно больше, чем в $K_2SeO_4 - Rb_2SeO_4$, и одинаковое значение этого эффекта отрицательного давления достигается при меньших концентрациях Cs^+ ($T_i = 160$ К при 3 % Cs^+ и 5 % Rb^+). При легировании K_2SeO_4 рубидием и цезием наблюдается увеличение температурного гистерезиса при сегнетоэлектрическом ФП.

В заключение отметим, что эксперименты показывают непохожее влияние на несоразмерную фазу и сегнетоэлектрический ФП различных примесей (дефектов) при нецентральном и изоморфном замещениях в K_2SeO_4 : ионов K^+ на Li^+ , Rb^+ и Cs^+ .

- [1] Санников Д. Г., Леванюк А. П. // ФТТ. 1978. Т. 20. № 4. С. 1005—1012.
[2] Kudo S., Ikeda T. // J. Phys. Soc. Jap. 1981. V. 50. N 3. P. 733—734.
[3] Вихнин В. С., Недолянская Е. Г., Шильников А. В., Юшик Н. К. // ФТТ. 1988. Т. 30. N 2. С. 606—609.
[4] Струков Б. А., Уесу И., Арутюнова В. М. // Письма в ЖЭТФ. 1983. Т. 35. N 10. С. 424—427.
[5] Лемаков В. В., Бржеzина Б., Есаян С. Х., Карапетян А. // ФТТ. 1984. Т. 26. N 5. С. 1331—1333.

Харьковский институт
инженеров железнодорожного транспорта

Поступило в Редакцию
16 апреля 1990 г.

УДК 538.945 . 539.166

© Физика твердого тела, том 32, № 11, 1990
Solid State Physics, vol. 32, N 11, 1990

ПАРАМЕТРЫ ТЕНЗОРА ГРАДИЕНТА ЭЛЕКТРИЧЕСКОГО ПОЛЯ В УЗЛАХ БАРИЯ ДЛЯ $\text{YBa}_2\text{Cu}_3\text{O}_{7-x}$, ОПРЕДЕЛЕННЫЕ МЕТОДОМ МЕССБАУЭРОВСКОЙ СПЕКТРОСКОПИИ

Г. Т. Дарibaева, В. Ф. Мастеров, Ф. С. Насрединов, П. П. Серегин

Экспериментальное определение параметров тензора градиента электрического поля (ГЭП) в узлах решетки $\text{YBa}_2\text{Cu}_3\text{O}_{7-x}$ является актуальной задачей. В первую очередь это объясняется возможностью для указанной керамики провести сравнение экспериментальных и расчетных параметров ГЭП и, как результат, оценить справедливость тех исходных предпосылок, в рамках которых производится расчет решеточных сумм.

Наиболее полная информация о параметрах ГЭП в узлах кристаллической решетки может быть получена методами ядерного квадрупольного резонанса (ЯКР) и мессбауэровской спектроскопии. Однако в применении к $\text{YBa}_2\text{Cu}_3\text{O}_{7-x}$ оба метода относятся либо к центрам меди (ЯКР на изотопах ^{63}Cu , ^{65}Cu [1]), либо к примесным центрам в положении атомов меди (эффект Мессбауэра на изотопах ^{57}Fe (^{57}Co) [2], ^{119}Sn [3] и ^{67}Zn (^{67}Cu) [4]), либо к центрам редкоземельных металлов в положении атомов иттрия (эффект Мессбауэра на изотопах ^{151}Eu [5], ^{155}Gd [6], ^{161}Dy [7], ^{166}Er [8], ^{169}Tm [9] и ^{170}Yb [10]). Не касаясь здесь проблемы извлечения из экспериментальных значений e^2qQ информации о eq_{kp} (см., например, обсуждение в [4]), отметим лишь, что практически отсутствуют прямые измерения параметров тензора ГЭП в узлах атомов бария для керамики $\text{YBa}_2\text{Cu}_3\text{O}_{7-x}$ (здесь eQ — квадрупольный момент исследуемого ядра; eq — главная компонента тензора ГЭП на исследуемом ядре; eq_{kp} — главная компонента тензора ГЭП, создаваемого ионами решетки в данном узле). Это связано как с трудностями измерений спектров ЯКР на изотопах ^{135}Ba , ^{137}Ba , так и с отсутствием стабильных мессбауэровских изотопов бария.

В настоящей работе предлагается использовать для определения параметров тензора ГЭП в узлах бария эмиссионную мессбауэровскую спектроскопию на изотопе ^{133}Ba (^{133}Cs). Электронный захват в материнском ядре ^{133}Ba приводит к образованию возбужденного 81-кэВ уровня ^{133}Cs , причем энергия отдачи при испускании нейтрин в данном случае не превышает 1 кэВ, так что дочерний атом цезия оказывается в положении атомов бария. Изомерный переход в ^{133}Cs совершается между состояниями со спинами $5/2$ и $7/2$, поэтому при нахождении атома цезия в кристаллическом поле, симметрия которого ниже кубической, в мессбауэровском спектре должно появиться восемь линий разной интенсивности. Однако, учитывая